

CG020 Genomika Bi7201 Základy genomiky

Přednáška 2 Identifikace genů

Jan Hejátko

Funkční genomika a proteomika rostlin,
Mendelovo centrum genomiky a proteomiky rostlin,
Středoevropský technologický institut (CEITEC), Masarykova univerzita, Brno
hejatko@sci.muni.cz, www.ceitec.muni.cz



MINISTERSTVO ŠKOLSTVÍ,
MLÁDEŽE A TĚLOVÝCHOVY



OP Vzdělávání
pro konkurenceschopnost



INVESTICE DO ROZVOJE VZDĚLÁVÁNÍ

Tato prezentace je spolufinancována
Evropským sociálním fondem
a státním rozpočtem České republiky

Literatura

▪ Zdrojová literatura ke kapitole 2

- Plant Functional Genomics, ed. Erich Grotewold, 2003, Humana Press, Totowa, New Jersey
- Majoros, W.H., Perlea, M., Antonescu, C. and Salzberg, S.L. (2003) GlimmerM, Exonomy, and Unveil: three ab initio eukaryotic genefinders. *Nucleic Acids Research*, **31**(13).
- Singh, G. and Lykke-Andersen, J. (2003) New insights into the formation of active nonsense-mediated decay complexes. *TRENDS in Biochemical Sciences*, **28** (464).
- Wang, L. and Wessler, S.R. (1998) Inefficient reinitiation is responsible for upstream open reading frame-mediated translational repression of the maize R gene. *Plant Cell*, **10**, (1733)
- de Souza et al. (1998) Toward a resolution of the introns early/late debate: Only phase zero introns are correlated with the structure of ancient proteins *PNAS*, **95**, (5094)
- Feuillet and Keller (2002) Comparative genomics in the grass family: molecular characterization of grass genome structure and evolution *Ann Bot*, **89** (3-10)
- Frobius, A.C., Matus, D.Q., and Seaver, E.C. (2008). Genomic organization and expression demonstrate spatial and temporal Hox gene colinearity in the lophotrochozoan *Capitella* sp. I. *PLoS One* **3**, e4004



MINISTERSTVO ŠKOLSTVÍ,
MLÁDEŽE A TĚLOVÝCHOVY



OP Vzdělávání
pro konkurenceschopnost



INVESTICE DO ROZVOJE VZDĚLÁVÁNÍ

Tato prezentace je spolufinancována
Evropským sociálním fondem
a státním rozpočtem České republiky

Osnova

- Postupy „přímé“ a reverzní genetiky
 - rozdíly v myšlenkových přístupech k identifikaci genů a jejich funkcí
- Identifikace genů *ab initio*
 - struktura genů a jejich vyhledávání
 - genomová kolinearita a genová homologie
- Experimentální identifikace genů
 - příprava genově obohacených knihoven pomocí technologie metylačního filtrování
 - EST knihovny
 - přímá a reverzní genetika



INVESTICE DO ROZVOJE VZDĚLÁVÁNÍ

Tato prezentace je spolufinancována
Evropským sociálním fondem
a státním rozpočtem České republiky

Osnova

- Postupy „přímé“ a reverzní genetiky
 - rozdíly v myšlenkových přístupech k identifikaci genů a jejich funkci



INVESTICE DO ROZVOJE VZDĚLÁVÁNÍ

Tato prezentace je spolufinancována
Evropským sociálním fondem
a státním rozpočtem České republiky

Přímá vs. reverzní genetika

Revoluce v chápání pojmu genu

Přístupy „klasické“ genetiky



3

:

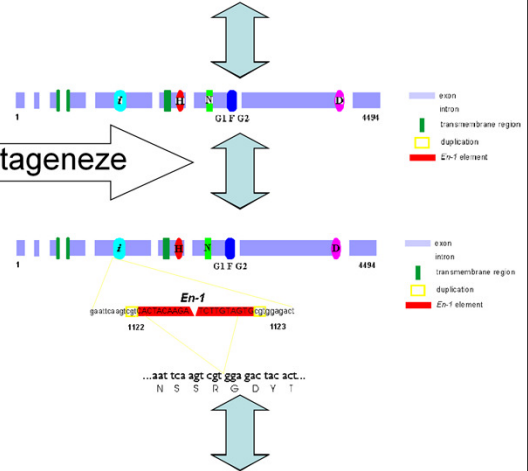
1



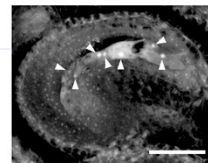
inzerční mutageneze

„Reverzně genetický“ přístup

5'TTATATATATATATATAAAAAATAAAATAAAA
GAACAAAAAGAAAAATAAAATA...3'



gaa tca agt cgt gga gac tac act...
N S S R G D Y T



ROJE VZDĚLÁVÁNÍ

ntace je spolufinancována
pešským sociálním fondem
zpočtem České republiky



Identifikace role genu *ARR21*

- Předpokládaný přenašeč signálu u dvoukomponentního signálního systému *Arabidopsis*

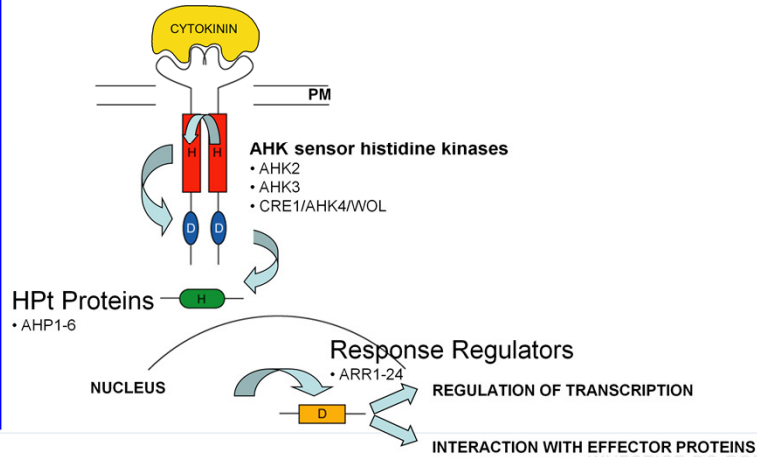


INVESTICE DO ROZVOJE VZDĚLÁVÁNÍ

Tato prezentace je spolufinancována
Evropským sociálním fondem
a státním rozpočtem České republiky

Identifikace role genu *ARR21*

Recent Model of the CK Signaling via Multistep Phosphorelay (MSP) Pathway



INVESTICE DO ROZVOJE VZDĚLÁVÁNÍ

Tato prezentace je spolufinancována
Evropským sociálním fondem
a státním rozpočtem České republiky

Identifikace role genu *ARR21*

- Předpokládaný přenašeč signálu u dvoukomponentního signálního systému *Arabidopsis*
- Mutant identifikován vyhledáváním v databázi inzerčních mutantů (SINS-sequenced insertion site) pomocí programu BLAST



INVESTICE DO ROZVOJE VZDĚLÁVÁNÍ

Tato prezentace je spolufinancována
Evropským sociálním fondem
a státním rozpočtem České republiky

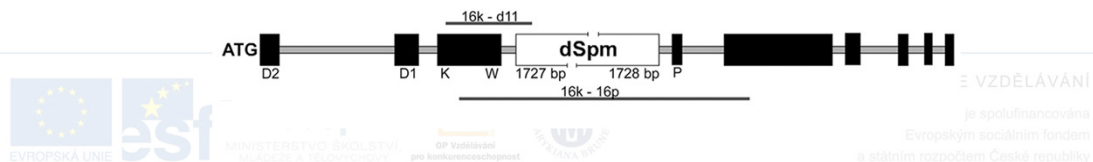
Identifikace role genu *ARR21* – izolace inz. mutanta

- vyhledávání v databázi inserčních mutantů (SINS)

```
Insert_SINS: 01_09_64
Query: 80      tcctagegttcatgagcgtagccatacttgacaanagagaacgtagccagccattacagg 139
              |||
Sbjct: 58319  tcctagegttcatgagcgtagccatacttgacaagagagaacgtagccagccattacagg 58378
Arr21: 1830
```

```
Insert_SINS: 01_09_64
Query: 140     ttgatatactctgtcaaaaatgttttggatttactgt 179
              |||
Sbjct: 58379  ttgatatactctgtcaaaaatgttttggatttactgt 58418
Arr21: 1890
```

- lokalizace inserce *dSpm* v genomové sekvenci *ARR21* pomocí sekvenace PCR produktů



Identifikace role genu *ARR21*

- Předpokládaný přenašeč signálu u dvoukomponentního signálního systému *Arabidopsis*
- Mutant identifikován vyhledáváním v databázi inzerčních mutantů (SINS-sequenced insertion site) pomocí programu BLAST
- Exprese *ARR21* u standardního typu a Inhibice exprese u inzerčního mutantu potvrzena na úrovni RNA



INVESTICE DO ROZVOJE VZDĚLÁVÁNÍ

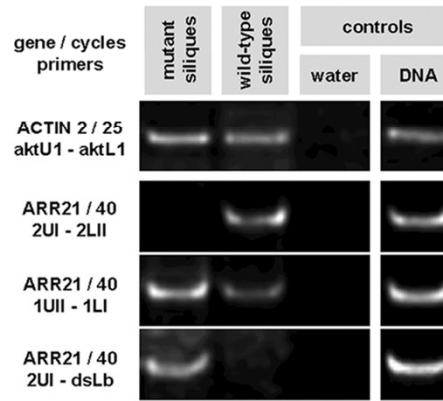
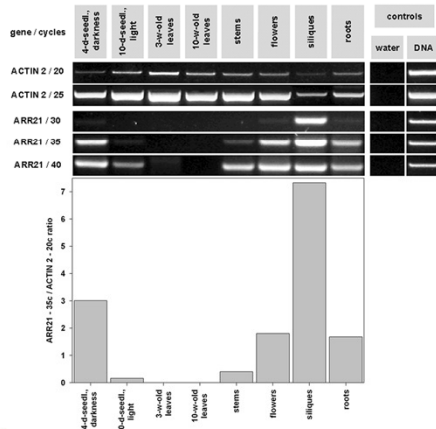
Tato prezentace je spolufinancována
Evropským sociálním fondem
a státním rozpočtem České republiky

Identifikace role genu

ARR21 – analýza exprese

Standardní typ

Inzerční mutant



INVESTICE DO ROZVOJE VZDĚLÁVÁNÍ

Tato prezentace je spolufinancována
Evropským sociálním fondem
a státním rozpočtem České republiky

Identifikace role genu *ARR21*

- Předpokládaný přenašeč signálu u dvoukomponentního signálního systému *Arabidopsis*
- Mutant identifikován vyhledáváním v databázi inzerčních mutantů (SINS-sequenced insertion site) pomocí programu BLAST
- Exprese *ARR21* u standardního typu a Inhibice exprese u inzerčního mutantu potvrzena na úrovni RNA
- Analýza fenotypu inzerčního mutantu



INVESTICE DO ROZVOJE VZDĚLÁVÁNÍ

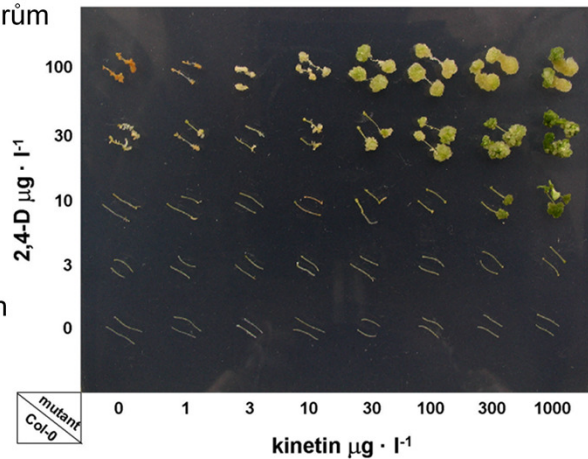
Tato prezentace je spolufinancována
Evropským sociálním fondem
a státním rozpočtem České republiky

Identifikace role genu *ARR21* – analýza fenotypu mutantu

- Analýza citlivosti k regulátorům růstu rostlin

- 2,4-D a kinetin
- etylén
- světlo různých vlnových délek

- Doba kvetení i počet semen nezměněn



INVESTICE DO ROZVOJE VZDĚLÁVÁNÍ

Tato prezentace je spolufinancována
Evropským sociálním fondem
a státním rozpočtem České republiky

Identifikace role genu *ARR21* – příčiny absence fenotypu

- Funkční redundance v rámci genové rodiny?

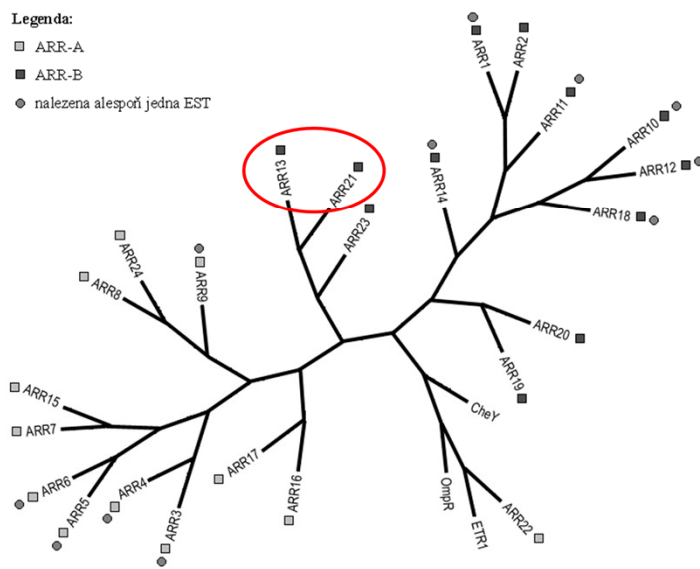


INVESTICE DO ROZVOJE VZDĚLÁVÁNÍ

Tato prezentace je spolufinancována
Evropským sociálním fondem
a státním rozpočtem České republiky

Identifikace role genu *ARR21* – příbuznost ARR genů

- Legenda:
- ARR-A
 - ARR-B
 - nalezena alespoň jedna EST



MINISTERSTVO ŠKOLSTVÍ,
MLÁDEŽE A TĚLOVÝCHOVY

OP Vzdělávání
pro konkurenceschopnost



ZVOJE VZDĚLÁVÁNÍ

Centra je spolufinancována
evropským sociálním fondem
a státním rozpočtem České republiky

Identifikace role genu *ARR21* – příčiny absence fenotypu

- Funkční redundance v rámci genové rodiny?
- Fenotypový projev pouze za velmi specifických podmínek (?)



INVESTICE DO ROZVOJE VZDĚLÁVÁNÍ

Tato prezentace je spolufinancována
Evropským sociálním fondem
a státním rozpočtem České republiky

Identifikace role genu

ARR21 – shrnutí

- Gen *ARR21* identifikován pomocí srovnávací analýzy genomu *Arabidopsis*
- Na základě analýzy sekvence byla předpovězena jeho funkce
- Byla prokázána místně specifická exprese genu *ARR21* na úrovni RNA
- Inzerční mutagenese v případě identifikace funkce genu *ARR21* ve vývoji *Arabidopsis* byla neúspěšná, pravděpodobně v důsledku funkční redundance v rámci genové rodiny



INVESTICE DO ROZVOJE VZDĚLÁVÁNÍ

Tato prezentace je spolufinancována
Evropským sociálním fondem
a státním rozpočtem České republiky

Osnova

- Postupy „přímé“ a reverzní genetiky
 - rozdíly v myšlenkových přístupech k identifikaci genů a jejich funkcí
- Identifikace genů *ab initio*
 - struktura genů a jejich vyhledávání

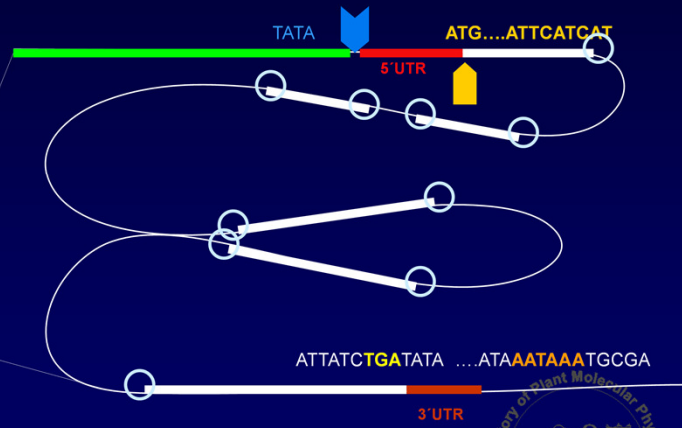


INVESTICE DO ROZVOJE VZDĚLÁVÁNÍ

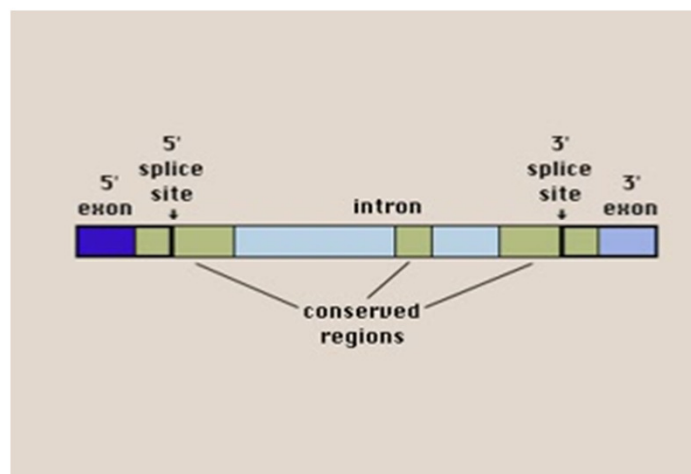
Tato prezentace je spolufinancována
Evropským sociálním fondem
a státním rozpočtem České republiky

Struktura genů

- promotor
- počátek transkripce
- 5'UTR
- počátek translace
- místa sestřihu
- stop kodon
- 3'UTR
- polyadenylační signál



Sestřih RNA



INVESTICE DO ROZVOJE VZDĚLÁVÁNÍ

Tato prezentace je spolufinancována
Evropským sociálním fondem
a státním rozpočtem České republiky

Identifikace genů *ab initio*

- zanedbání 5' a 3' UTR
- identifikace počátku translace (ATG) a stop kodonu (TAG, TAA, TGA)
- nalezení donorových (většinou GT) a akceptorových (AG) míst sestřihu
- většina ORF není skutečně kódujícími sekvencemi – u *Arabidopsis* je asi 350 mil. ORF na každých 900 bp (!)
- využití různých statistických modelů (např. Hidden Markov Model, HMM, viz doporučená studijní literatura, Majoros et al., 2003) k posouzení a ohodnocení váhy identifikovaných donorových a akceptorových míst



INVESTICE DO ROZVOJE VZDĚLÁVÁNÍ

Tato prezentace je spolufinancována
Evropským sociálním fondem
a státním rozpočtem České republiky

Predikce míst sestřihu

- programy pro predikci míst sestřihu (specificita přibližně 35%)
 - GeneSplicer (http://www.tigr.org/tdb/GeneSplicer/gene_spl.html)
 - SplicePredictor (<http://deepc2.psi.iastate.edu/cgi-bin/sp.cgi>)



INVESTICE DO ROZVOJE VZDĚLÁVÁNÍ

Tato prezentace je spolufinancována
Evropským sociálním fondem
a státním rozpočtem České republiky

Predikce míst sestřihu

BCB @ ISU Bioinformatics 2 Download Help Tutorial References Contact
Go

SplicePredictor

- a method to identify potential splice sites in (plant) pre-mRNA by sequence inspection using Bayesian statistical models
(click [here](#) to access the older method using logitlinear models)

Sequences should be in the one-letter-code ({a,b,c,g,h,k,m,n,r,s,t,u,w,y}), upper or lower case; all other characters are ignored during input. Multiple sequence input is accepted in **FASTA** format (sequences separated by identifier lines of the form ">SQ:name_of_sequence comments") or in **GenBank** format.

Paste your genomic DNA sequence here:

```
GAGGAGGCCAAAAATGACGAATATACAAAATGATCTTAAACAGCTAAACTATATTGGACATTTTTTCGATCTCAGATATA
AAAGATTTTCATTCAATATAACTTTGGATAAATACTTATTATTTTCTTTAGTTTATTAATAAACCTCTAATAAAT
ACGAGTTTTAAGTCCACAAAATCGCTTAGACTAAAATACACCATATAATTCAACGATAAAGTTACAAAAGTAAATACC
AAGTATCTCATAGTCAACATATATAGTAAATAATTAGTTGACGTATAAGAAAATAAAAATAAATAAATAGTATCTTAT
TTTGGTGGTGCTGACTGGTGACTGGTGACTGCAGAATGCTCGGCCAAATGGAACCATATCCCAAGACATGGGTTTTATAGAT
```

... or upload your sequence file (specify file name):

... or type in the GenBank accession number of your sequence:



INVESTICE DO ROZVOJE VZDĚLÁVÁNÍ

Tato prezentace je spolufinancována
Evropským sociálním fondem
a státním rozpočtem České republiky

Predikce míst sestřihu

What do the output columns mean?

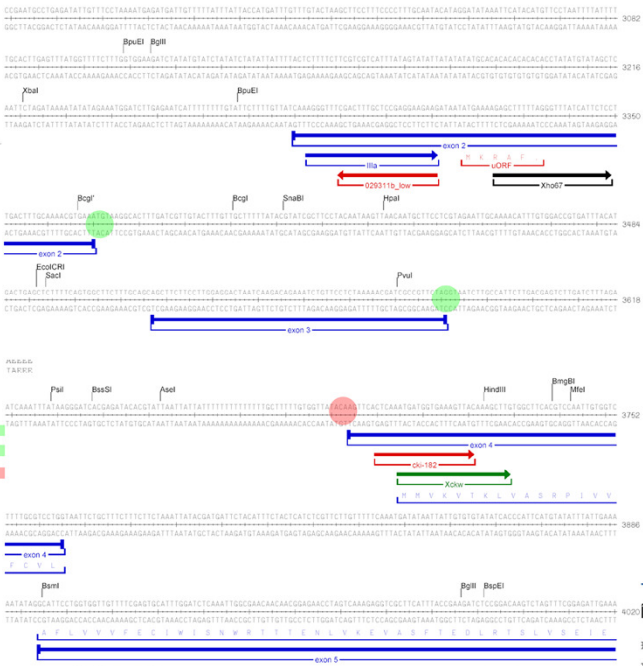
SplicePredictor. Version of February 13, 2005.
Date run: Wed Nov 9 11:30:14 2005

Species: Homo sapiens
Model: 2-class Bayesian
Prediction cutoff (2 ln(BP)): 3.00
Local pruning: on
Non-canonical sites: not scored

Sequence 1: your=sequence, from 1 to 9490.

Potential splice sites

t	q	loc	sequence	P	c	rho	gamma	* P*Q*
A	<--	75	ttttttgagctctcagat	0.973	7.14	0.000	0.000	7 (5 1 1)
A	<--	134	attatttttcttttAGGt	0.999	14.86	0.000	0.000	7 (5 1 1)
A	<--	500	gattttgtgttttAGtc	0.977	7.48	0.000	0.000	7 (5 1 1)
A	<--	780	tcgttcttctgtattAGct	0.986	8.56	0.000	0.000	7 (5 1 1)
A	<--	848	tattttttgaaatAGat	0.968	6.80	0.000	0.000	7 (5 1 1)
A	<--	1051	caatttatttttcttAGaa	0.930	5.19	0.000	0.000	7 (5 1 1)
A	<--	1211	ttattttttttttttAGct	0.996	12.14	0.000	0.000	7 (5 1 1)
A	<--	1373	ttttctctctctcagcAGa	0.999	13.17	0.000	0.000	7 (5 1 1)
A	<--	1481	ttctattttttttttAGtg	0.983	4.04	0.000	0.000	7 (5 1 1)
A	<--	1581	agttgtgtgtgtgtAGa	0.982	8.03	0.000	0.000	7 (5 1 1)
A	<--	1781	ggtttgtggaatAGgg	0.886	4.10	0.000	0.000	7 (5 1 1)
A	<--	2440	taatttcaaaatAGat	0.959	5.46	0.000	0.000	7 (5 1 1)
A	<--	2479	catctaaatAGat	0.942	5.59	0.000	0.000	7 (5 1 1)
D	<-->	2546	aagTtagta	0.909	4.61	0.885	1.903	15 (5 5 5)
A	<--	2572	ttttttttttttttAGaa	0.930	5.16	0.000	0.000	7 (5 1 1)
A	<--	2763	ctcaatttcaaaAGgt	0.873	3.86	0.185	0.000	11 (5 5 1)
A	<--	2782	ttttttttttttttAGgg	0.952	5.98	0.220	0.000	11 (5 5 1)
A	<--	3022	ttttttttttttttAGct	0.856	6.16	0.221	0.000	11 (5 5 1)
A	<--	3048	ctttgpaataaAGa	0.973	7.15	0.229	0.000	11 (5 5 1)
A	<--	3171	ggtgtgatttctAGta	0.988	8.74	0.000	0.000	7 (5 1 1)
A	<--	3284	cttttttttcaaaAGgg	0.993	10.03	0.000	0.006	8 (5 1 2)
D	<-->	3377	aagTtaga	0.913	5.28	0.855	1.849	15 (5 5 5)
A	<--	3451	gattttttttttttAGa	0.916	4.73	0.293	0.000	12 (5 5 2)
A	<--	3581	ggtgtggtgttAGgt	0.850	3.47	0.000	0.000	7 (5 1 1)
D	<-->	3649	caagTatta	0.933	5.25	0.000	1.848	11 (5 1 5)
A	<--	3686	ttgtgttataaAGct	0.907	4.86	0.000	0.000	8 (5 1 3)
A	<--	4254	attatttttctctAGat	0.998	12.82	0.000	0.002	8 (5 1 2)
A	<--	4351	ttttctcaactgpaAGa	0.991	9.42	0.000	0.000	7 (5 1 1)
A	<--	4633	gtttttttttttttAGgg	0.879	3.87	0.000	0.000	7 (5 1 1)
A	<--	4976	ctttgtttttttttAGct	0.952	5.98	0.000	0.000	7 (5 1 1)
A	<--	5005	ttttttttttttttAGgg	0.996	11.27	0.000	0.000	7 (5 1 1)
D	<-->	5356	caagTaat	0.821	3.04	0.387	0.000	11 (5 5 1)
D	<-->	5384	ttgtTtaga	0.941	5.54	0.478	0.090	13 (5 5 3)
A	<--	5403	actctgtttttttttAGct	0.894	4.26	0.000	0.000	7 (5 1 1)
A	<--	5441	ctttttttttttttAGaa	0.995	10.43	0.387	0.000	11 (5 5 1)
A	<--	5472	ttgttaaaatcAGct	0.965	6.82	0.478	0.090	13 (5 5 3)
D	<-->	5745	aggtTtaga	0.991	9.48	0.990	1.956	15 (5 5 5)
A	<--	5808	catcaatacctaaAGgt	0.948	5.83	0.458	0.000	11 (5 5 1)
A	<--	6131	ggtctctctctctAGgt	0.999	13.59	0.508	0.000	12 (5 5 2)
A	<--	6552	ggtattttttttttAGg	0.938	5.42	0.000	0.000	7 (5 1 1)



EVROPSKÁ UNIE

MINISTERSTVO ŠKOLSTVÍ, MLÁDEŽE A TĚLOVÝCHOVY

pro konkurenceschopnost

JATANA BRU

a státním rozpočtem České republiky

Identifikace genů *ab initio*

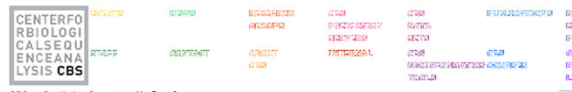
- programy pro predikci míst sestřihu (specifita přibližně 35%)
 - GeneSplicer (http://www.tigr.org/tdb/GeneSplicer/gene_spl.html)
 - SplicePredictor (<http://deepc2.psi.iastate.edu/cgi-bin/sp.cgi>)
 - NetGene2 (<http://www.cbs.dtu.dk/services/NetGene2/>)



INVESTICE DO ROZVOJE VZDĚLÁVÁNÍ

Tato prezentace je spolufinancována
Evropským sociálním fondem
a státním rozpočtem České republiky

Predikce míst sestřihu



NetGene2 Server

The NetGene2 server is a service producing neural network predictions of splice sites in human, *C. elegans* and *A. thaliana*

[Instructions](#) [Output format](#) [Abstract](#) [Performanc](#)

SUBMISSION

Submission of a local file with a single sequence:

File in **FASTA** format

- Human
 C. elegans
 A. thaliana

Submission by pasting a single sequence:

Sequence name

- Human
 C. elegans
 A. thaliana

Sequence

```
GAGGAGGCACAAAATGACGAATATACAAAATGATCTTAAACAGCTAAACTATATTGGACATTTTTTCGATC  
TCAGATATA  
AAAGATTTTCATTCATATAATACTTGGATAAATACTCTTATTATTTTTCTTTAGTTTATTTAAAAAAACCT  
CTAATAAAT  
ACGAGTTTAAAGTCCACAAAATCGCTTAGACTAAAATACACCATATAATTTCAACGATAAAGTTTACAAAA
```

NOTE: The submitted sequences are kept confidential and will be erased immediately after processing.



DO ROZVOJE VZDĚLÁVÁNÍ

Tato prezentace je spolufinancována
Evropským sociálním fondem
a státním rozpočtem České republiky

Predikce míst sestřihu

Prediction done

***** NetGene2 v. 2.4 *****

The sequence: Sequence has the following composition:

Length: 9490 nucleotides.
31.8% A, 17.0% C, 19.6% G, 31.7% T, 0.0% X, 36.5% G+C

Donor splice sites, direct strand

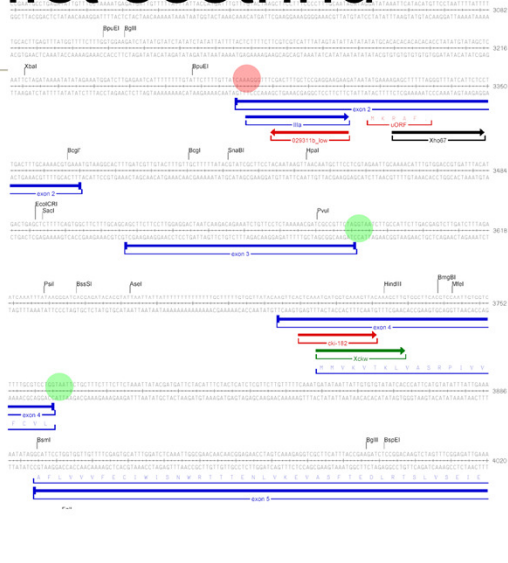
pos 5'>3'	phase	strand	confidence	5'	exon	intron	3'
1704	0	+	0.87	TTC	CAACAC	GT	TAAATTT
1906	0	+	0.99	CGG	GAACG	GT	CAGACAT
3582	1	+	1.00	GCC	GTCTAG	GT	AATCTGG
3762	1	+	1.00	TTC	GTCTGG	GT	AATCTGG
4134	0	+	0.74	TCA	ACACG	GT	TAAAA
4619	1	+	0.74	AGC	AAGAA	GT	CTTTTC
4915	0	+	0.94	CGT	CTCTG	GT	AATCTGG
5356	0	+	0.87	TCT	CAACA	GT	ATTTT
5384	1	+	1.00	GAT	TGCTG	GT	AAGACTCT
5809	1	+	1.00	TAT	CTTAA	GT	GTGCTAA
6057	0	+	1.00	GCA	CTTTT	GT	AAGACTCT
6096	1	+	0.74	CTC	TCACA	GT	AATCTGG
7369	0	+	1.00	GGC	TGCCA	GT	AAGTTAA
7886	0	+	0.74	GAC	CAAAAT	GT	AAGTTAA
9323	0	+	0.74	GAG	ATTAG	GT	TTTTCT

Donor splice sites, complement strand

pos 3'>5'	pos 5'>3'	phase	strand	confidence	5'	intron	exon	3'
1213	0	+	0.59	TAT	TTTTAG	TT	TGGAGAC	
1221	2	+	0.87	AGT	TATGG	ACA	AAGATCG	
1373	0	+	0.71	TCT	CTCAG	GAC	CAGAA	
1487	1	+	0.81	AT	TGATG	TGG	ACATTA	
3284	0	+	0.87	GT	TCAA	AG	TTCGACT	
4254	0	+	1.00	TGT	TCTCG	AT	CACACAT	
4832	2	+	0.54	AAA	TTCCG	TT	CAGTGGC	
5004	0	+	0.94	TTT	TGCCG	AG	ATACACAC	
5472	1	+	0.96	AAA	ATTACAG	CT	TGCTCAA	
6135	0	+	1.00	ATT	ATTATG	GT	AAGTTAA	
6490	1	+	0.90	AAG	TGACG	TG	TGGAGA	
6744	0	+	0.59	TGT	CAACG	TT	CTGTAGAG	
7447	0	+	0.96	TTC	GACAG	AT	SCCAGAAA	
7780	2	+	0.76	TCC	ATTTCG	AT	ACAGACA	
7786	2	+	0.92	TC	GATACG	AAC	CAATGCA	

Acceptor splice sites, direct strand

pos 5'>3'	phase	strand	confidence	5'	intron	exon	3'
1213	0	+	0.59	TAT	TTTTAG	TT	TGGAGAC
1221	2	+	0.87	AGT	TATGG	ACA	AAGATCG
1373	0	+	0.71	TCT	CTCAG	GAC	CAGAA
1487	1	+	0.81	AT	TGATG	TGG	ACATTA
3284	0	+	0.87	GT	TCAA	AG	TTCGACT
4254	0	+	1.00	TGT	TCTCG	AT	CACACAT
4832	2	+	0.54	AAA	TTCCG	TT	CAGTGGC
5004	0	+	0.94	TTT	TGCCG	AG	ATACACAC
5472	1	+	0.96	AAA	ATTACAG	CT	TGCTCAA
6135	0	+	1.00	ATT	ATTATG	GT	AAGTTAA
6490	1	+	0.90	AAG	TGACG	TG	TGGAGA
6744	0	+	0.59	TGT	CAACG	TT	CTGTAGAG
7447	0	+	0.96	TTC	GACAG	AT	SCCAGAAA
7780	2	+	0.76	TCC	ATTTCG	AT	ACAGACA
7786	2	+	0.92	TC	GATACG	AAC	CAATGCA



EVROPSKA UNIE **ESI** MINISTERSTVO ŠKOLSTVÍ, MLÁDEŽE A TĚLOVÝCHOVY **ESF** Vzdělávání pro konkurenceschopnost

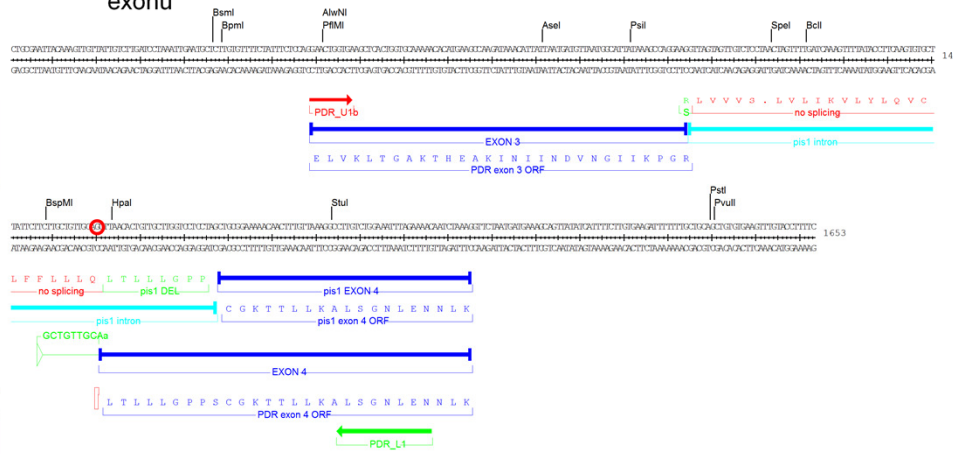


INVESTICE DO ROZVOJE VZDĚLÁVÁNÍ

Tato prezentace je spolufinancována Evropským sociálním fondem a státním rozpočtem České republiky

Sestřih RNA a adaptace

- odchylky rozpoznávání míst sestřihu u rostlin v praxi - příklad vývojové plasticity (nejen) rostlin
 - identifikace mutanta s bodovou mutací (tranzice G→A) přesně v místě sestřihu na 5' konci 4. exonu



EVROPSKÁ UNIE

MINISTERSTVO ŠKOLSTVÍ,
MLÁDEŽE A TĚLOVÝCHOVY

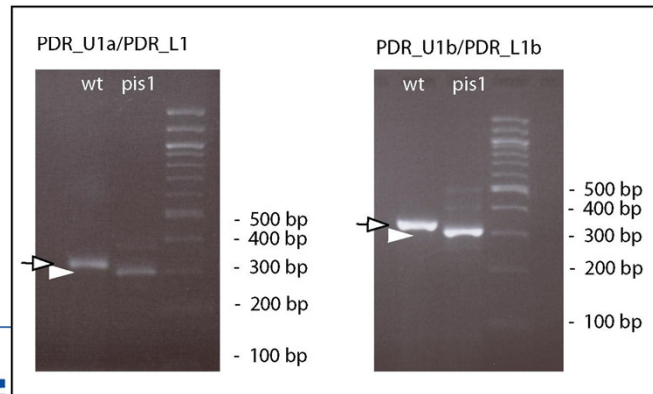
OP Vzdělávání
pro konkurenceschopnost



a státním rozpočtem České republiky

Sestřih RNA a adaptace

- identifikace mutantu s bodovou mutací (tranzice G→A) přesně v místě sestřihu na 5' konci 4. exonu
- analýza pomocí RT PCR prokázala přítomnost fragmentu kratšího než by odpovídalo cDNA po normálním sestřihu



MINISTERSTVO ŠKOLSTVÍ,
MLÁDEŽE A TĚLOVÝCHOVY
OP Vzdělávání
pro konkurenceschopnost
MARIANA BRUNER

ROZVOJE VZDĚLÁVÁNÍ

to prezentace je spolufinancována
Evropským sociálním fondem
a státním rozpočtem České republiky

Identifikace genů *ab initio*

- odchylky rozpoznávání míst sestřihu u rostlin v praxi - příklad vývojové plasticity (nejen) rostlin
 - identifikace mutanta s bodovou mutací (tranzice G→A) přesně v místě sestřihu na 5' konci 4. exonu
 - analýza pomocí RT PCR prokázala přítomnost fragmentu kratšího než by odpovídalo cDNA po normálním sestřihu
 - sekvenace tohoto fragmentu pak ukázala na alternativní sestřih s využitím nejbližšího možného místa sestřihu v exonu 4



MINISTERSTVO ŠKOLSTVÍ,
MLÁDEŽE A TĚLOVÝCHOVY

OP Vzdělávání
pro konkurenceschopnost



DĚLÁVÁNÍ

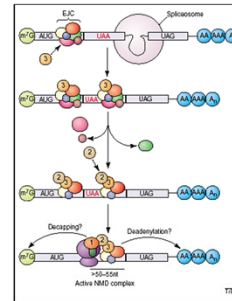
úřadně ověřeno

státním fondem

a státním rozpočtem České republiky

Identifikace genů *ab initio*

- odchylky rozpoznávání míst sestřihu u rostlin v praxi - příklad vývojové plasticity (nejen) rostlin
 - identifikace mutantu s bodovou mutací (tranzice G→A) přesně v místě sestřihu na 5' konci 4. exonu
 - analýza pomocí RT PCR prokázala přítomnost fragmentu kratšího než by odpovídalo cDNA po normálním sestřihu
 - sekvenace tohoto fragmentu pak ukázala na alternativní sesřih s využitím nejbližšího možného místa sestřihu v exonu 4
 - existence podobných obranných mechanismů prokázána i u jiných organismů (např. nestabilita mutantní mRNA se vznikem předčasného stopkodonu (> 50-55 bp před normálním stop kodonem) u eukaryot, viz doporučená studijní literatura, Singh and Lykke-Andersen, 2003)



MINISTERSTVO ŠKOLSTVÍ,
MLÁDEŽE A TĚLOVÝCHOVY



INVESTICE DO ROZVOJE VZDĚLÁVÁNÍ

Tato prezentace je spolufinancována
Evropským sociálním fondem
a státním rozpočtem České republiky

Identifikace genů *ab initio*

- programy pro predikci exonů
 - 4 typy exonů (podle polohy):
 - iniciační
 - vnitřní
 - terminální
 - jednoduché
 - programy kromě rozpoznávání míst sestřihu zohledňují i strukturu jednotlivých typů exonů
- iniciační:
 - Genescan (<http://genes.mit.edu/GENSCAN.html>)
 - GeneMark.hmm (<http://opal.biology.gatech.edu/GeneMark/>)
- interní:
 - MZEF (<http://rulai.cshl.org/tools/genefinder/>)



INVESTICE DO ROZVOJE VZDĚLÁVÁNÍ

Tato prezentace je spolufinancována
Evropským sociálním fondem
a státním rozpočtem České republiky

Identifikace genů *ab initio*

The New GENSCAN Web Server at MIT

Identification of complete gene structures in genomic DNA

(0 0)

For information about Genscan, click here

This server provides access to the program Genscan for predicting the locations and exon-intron structures of genes in genomic sequences from a variety of organisms.

This server can accept sequences up to 1 million base pairs (1 Mbp) in length. If you have trouble with the web server or if you have a large number of sequences to process, request a local copy of the program (see instructions at the bottom of this page) or use the **GENSCAN email server**. If your browser (e.g., Lynx) does not support file upload or multipart forms, use the **older version**.

Organism: Suboptimal exon cutoff (optional):

Sequence name (optional):

Print options: Predicted peptides only

Upload your DNA sequence file (one-letter code, upper or lower case, spaces/numbers ignored):

Or paste your DNA sequence here (one-letter code, upper or lower case, spaces/numbers ignored):

```
GGGGGGCCAAAATGAGGATATACAAAATGATCTTAACAGCTAACTATATGGACATTTTGGATC
TCAGATATA
AAAGATTTCTTCAATATAATACCTTGGATAAATACCTTATATTTCTTAGTTTATAAAAAAACCT
CTATATAAT
ACGAGTTTAKGCCACAAAATCGCTTAGACTAAATACACCATATAATTTCAACGATAAAAGTTTACAAA
GTAAATGC
AAGTATCTTATAGTCAAGATATATATAGTAAATAAATAGTGCAGTATAAGAAAATAAAATAAATTA
GTATCTAT
TTTGGGTTGCTGACTGGTGAATGACTGCAAGAAAGTCTGGGAAATGGAAACATATCCAAAGACATGG
GTTTAAAT
AGAACAAAATAAGTCTCCAGGAATGATTTAAAAGTCAATAGAAATATAAATATTGTAATAGCA
AATAAAAC
```

To have the results mailed to you, enter your email address here (optional):

[Back to the top](#)

Mládeží a vzdělávání pro konkurenceschopnost

INVESTICE DO ROZVOJE VZDĚLÁVÁNÍ

Tato prezentace je spolufinancována
Evropským sociálním fondem
a státním rozpočtem České republiky

Identifikace genů *ab initio*

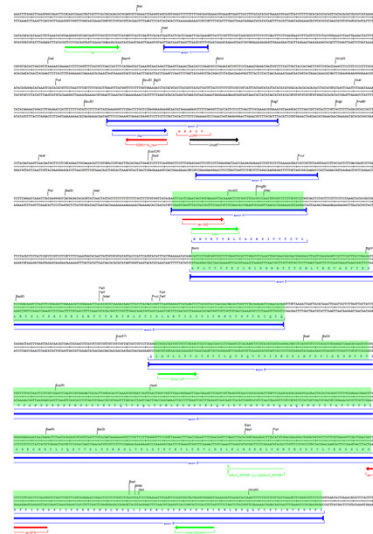
GENSCANW output for sequence CK11

GENSCAN 1.0 Date run: 10-Nov-105 Time: 02:24:26
 Sequence CK11 : 9490 bp : 36.53% C+G : Isochore 1 (0 - 43 C+G)
 Parameter matrix: Arabidopsis.smat
 Predicted genes/exons:

Gn.Ex	Type	S	.Begin	..End	.Len	Fr	Ph	I/Ac	Do/T	CodRg	P....	Tscr..
1.00	Prom	+	1497	1536	40							-3.85
1.01	Intr	+	3708	3784	57	2	0	63	51	37	0.499	-4.08
1.02	Intr	+	3694	4133	240	2	0	-3	7	327	0.713	17.32
1.03	Intr	+	4255	4914	660	0	0	86	59	296	0.771	22.57
1.04	Intr	+	5005	5383	379	0	1	70	91	343	0.772	31.41
1.05	Intr	+	5473	6056	584	2	2	38	99	592	0.722	50.76
1.06	Intr	+	6136	7368	1233	0	0	68	108	655	0.977	56.86
1.07	Term	+	7448	7660	213	1	0	43	35	212	0.999	12.65
1.08	PlyA	+	7910	7915	6							-0.45
2.03	PlyA	-	7976	7971	6							-4.83
2.02	Term	-	8793	8050	744	0	0	107	37	542	0.997	48.46
2.01	Intr	-	9253	8936	318	1	0	105	73	386	0.999	41.18

Suboptimal exons with probability > 0.100

Exnum	Type	S	.Begin	..End	.Len	Fr	Ph	B/Ac	Do/T	CodRg	P....	Tscr..
S.001	Intr	+	1867	1905	39	0	0	64	40	57	0.298	3.74
S.002	Intr	+	2374	2442	69	0	0	55	95	-11	0.132	2.40
S.003	Intr	+	3894	4110	217	2	1	-3	-34	307	0.177	11.55
S.004	Intr	+	4352	4914	563	0	2	75	59	338	0.187	26.20
S.005	Intr	+	5005	5379	375	0	0	70	8	335	0.212	22.99
S.006	Intr	+	5442	6056	615	2	0	95	99	589	0.208	57.32



INVESTICE DO KVALIFIKACE VĚDELCŮ

Tato prezentace je spolufinancována
 Evropským sociálním fondem
 a státním rozpočtem České republiky

Explanation Gn.Ex : gene number, exon number (for reference) **Type** : Init = Initial exon (ATG to 5' splice site) Intr = Internal exon (3' splice site to 5' splice site) Term = Terminal exon (3' splice site to stop codon) Sngl = Single-exon gene (ATG to stop) Prom = Promoter (TATA box / initiation site) PlyA = poly-A signal (consensus: AATAAA) **S** : DNA ...Len strand (+ = input strand; - = opposite strand) **Begin** : beginning of exon or signal (numbered on input strand) **End** : end point of exon or signal (numbered on input strand) **Len** : length of exon or signal (bp) **Fr** : reading frame (a forward strand codon ending at x has frame x mod 3) **Ph** : net phase of exon (exon length modulo 3) – the position of the intron towards the ORF of the exon (0, 1 or 2) **I/Ac** : initiation signal or 3' splice site score (tenth bit units) **Do/T** : 5' splice site or termination signal score (tenth bit units) **CodRg** : coding region score (tenth bit units) **P** : probability of exon (sum over all parses containing exon) **Tscr** : exon score (depends on length, I/Ac, Do/T and CodRg scores)
Comments The SCORE of a predicted feature (e.g., exon or splice site) is a log-odds measure of the quality of the feature based on local sequence properties. For example, a predicted 5' splice site with score > 100 is strong; 50-100 is moderate; 0-50 is weak; and below 0 is poor (more than likely not a real donor site). The PROBABILITY of a predicted exon is the estimated probability under GENSCAN's model of genomic sequence structure that the exon is correct. This probability depends in general on global as well as local sequence properties, e.g., it depends on how well the exon fits with neighboring exons. It has been shown that predicted exons with higher probabilities are more likely to be correct

than those with lower probabilities.

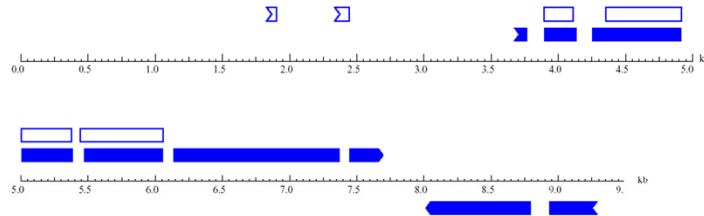
What are the suboptimal exons?

Under the probabilistic model of gene structural and compositional properties used by GENSCAN, each possible "parse" (gene structure description) which is compatible with the sequence is assigned a probability. The default output of the program is simply the "optimal" (highest probability) parse of the sequence. The exons in this optimal parse are referred to as "optimal exons" and the translation products of the corresponding "optimal genes" are printed as GENSCAN predicted peptides. (All the data in our J Mol Biol paper and on the other GENSCAN web pages refer exclusively to the optimal parse/optimal exons.) Of course, the optimal parse does not always correspond to the actual (biological) parse of the sequence, that is, the actual set of exons/genes present. In addition, there may be more than one parse which can be considered "correct", for example, in the case of a gene which is alternatively transcribed, translated or spliced. For both of these reasons, it may be of interest to consider "suboptimal" ("near-optimal") exons as well, i.e. exons which have reasonably high probability but are not present in the optimal parse. Specifically, for every potential exon E in the sequence, the probability $P(E)$ is defined as the sum of the probabilities under the model of all possible "parses" (gene structures) which contain the exact exon E in the correct reading frame. (This quantity is calculated as described on the [GENSCAN exon probability page](#).) Given a probability cutoff C, suboptimal exons are those potential exons with $P(E) > C$ which are not present in the optimal parse.

Suboptimal exons have a variety of potential uses. First, suboptimal exons sometimes correspond to real exons which were missed for whatever reason by the optimal parse of the sequence. Second, regions of a prediction which contain multiple overlapping and/or incompatible optimal and suboptimal exons may in some cases indicate alternatively spliced regions of a gene (Burge & Karlin, in preparation). The probability cutoff C used to determine which potential exons qualify as suboptimal exons can be set to any of a range of values between 0.01 and 1.00. The default value on the web page is 1.00, meaning that no suboptimal exons are printed. For most applications, a cutoff value of about 0.10 is recommended. Setting the value much lower than 0.10 will often lead to an explosion in the number of suboptimal exons, most of which will probably not be useful. On the other hand, if the value is set much higher than 0.10, then potentially interesting suboptimal exons may be missed.

Identifikace genů *ab initio*

GENSCAN predicted genes in sequence 02:56:23



Key: Initial exon Internal exon Terminal exon Single-exon gene Optimal exon Suboptimal exon

MINISTERSTVO ŠKOLSTVÍ, MLÁDEŽE A TĚLOVÝCHOVY
OP Vzdělávání pro konkurenceschopnost



OZVOJE VZDĚLÁVÁNÍ

prezentace je spolufinancována
Evropským sociálním fondem
a státním rozpočtem České republiky

Explanation **Gn.Ex** : gene number, exon number (for reference) **Type** : Init = Initial exon (ATG to 5' splice site) Intr = Internal exon (3' splice site to 5' splice site) Term = Terminal exon (3' splice site to stop codon) Sngl = Single-exon gene (ATG to stop) Prom = Promoter (TATA box / initiation site) PlyA = poly-A signal (consensus: AATAAA) **S** : DNA strand (+ = input strand; - = opposite strand) **Begin** : beginning of exon or signal (numbered on input strand) **End** : end point of exon or signal (numbered on input strand) **Len** : length of exon or signal (bp) **Fr** : reading frame (a forward strand codon ending at x has frame $x \bmod 3$) **Ph** : net phase of exon (exon length modulo 3) – the position of the intron towards the ORF of the exon (0, 1 or 2) **I/Ac** : initiation signal or 3' splice site score (tenth bit units) **Do/T** : 5' splice site or termination signal score (tenth bit units) **CodRg** : coding region score (tenth bit units) **P** : probability of exon (sum over all parses containing exon) **Tscr** : exon score (depends on length, I/Ac, Do/T and CodRg scores)
Comments The SCORE of a predicted feature (e.g., exon or splice site) is a log-odds measure of the quality of the feature based on local sequence properties. For example, a predicted 5' splice site with score > 100 is strong; 50-100 is moderate; 0-50 is weak; and below 0 is poor (more than likely not a real donor site). The PROBABILITY of a predicted exon is the estimated probability under GENSCAN's model of genomic sequence structure that the exon is correct. This probability depends in general on global as well as local sequence properties, e.g., it depends on how well the exon fits with neighboring exons. It has been shown that predicted exons with higher probabilities are more likely to be correct

than those with lower probabilities.

What are the suboptimal exons?

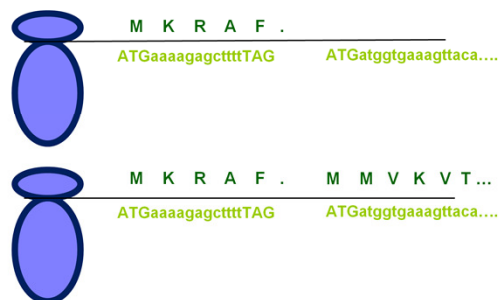
Under the probabilistic model of gene structural and compositional properties used by GENSCAN, each possible "parse" (gene structure description) which is compatible with the sequence is assigned a probability. The default output of the program is simply the "optimal" (highest probability) parse of the sequence. The exons in this optimal parse are referred to as "optimal exons" and the translation products of the corresponding "optimal genes" are printed as GENSCAN predicted peptides. (All the data in our J Mol Biol paper and on the other GENSCAN web pages refer exclusively to the optimal parse/optimal exons.) Of course, the optimal parse does not always correspond to the actual (biological) parse of the sequence, that is, the actual set of exons/genes present. In addition, there may be more than one parse which can be considered "correct", for example, in the case of a gene which is alternatively transcribed, translated or spliced. For both of these reasons, it may be of interest to consider "suboptimal" ("near-optimal") exons as well, i.e. exons which have reasonably high probability but are not present in the optimal parse. Specifically, for every potential exon E in the sequence, the probability $P(E)$ is defined as the sum of the probabilities under the model of all possible "parses" (gene structures) which contain the exact exon E in the correct reading frame. (This quantity is calculated as described on the [GENSCAN exon probability page](#).) Given a probability cutoff C, suboptimal exons are those potential exons with $P(E) > C$ which are not present in the optimal parse.

Suboptimal exons have a variety of potential uses. First, suboptimal exons sometimes correspond to real exons which were missed for whatever reason by the optimal parse of the sequence. Second, regions of a prediction which contain multiple overlapping and/or incompatible optimal and suboptimal exons may in some cases indicate alternatively spliced regions of a gene (Burge & Karlin, in preparation). The probability cutoff C used to determine which potential exons qualify as suboptimal exons can be set to any of a range of values between 0.01 and 1.00. The default value on the web page is 1.00, meaning that no suboptimal exons are printed. For most applications, a cutoff value of about 0.10 is recommended. Setting the value much lower than 0.10 will often lead to an explosion in the number of suboptimal exons, most of which will probably not be useful. On the other hand, if the value is set much higher than 0.10, then potentially interesting suboptimal exons may be missed.

Regulace transkripce

• Funkční význam sestřihu v nepřekládaných oblastech - důležitá regulační součást genů

- Translační represe prostřednictvím krátkých ORF v 5'UTR
- Identifikováno např. u kukuřice (Wang and Wessler, 1998, viz doporučená lit.)
- V případě CKI1 pokus prokázat tento způsob regulace genové exprese pomocí transgenních linií nesoucích *uidA* pod kontrolou dvou verzí promotoru, zatím nepotvrzeno

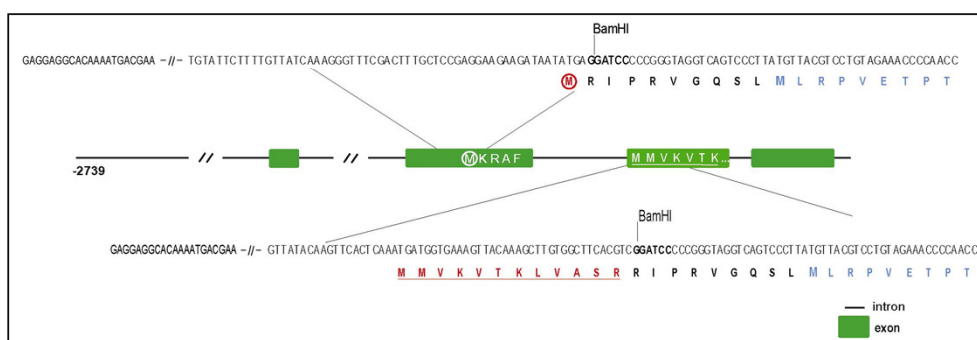


INVESTICE DO ROZVOJE VZDĚLÁVÁNÍ

Tato prezentace je spolufinancována
Evropským sociálním fondem
a státním rozpočtem České republiky

Regulace transkripce

- Funkční význam sestřihu v nepřekládaných oblastech - důležitá regulační součást genů
- V případě CK11 pokus prokázat tento způsob regulace genové exprese pomocí transgenních linií nesoucích *uidA* pod kontrolou dvou verzí promotoru, zatím nepotvrzeno



INVESTICE DO ROZVOJE VZDĚLÁVÁNÍ

Tato prezentace je spolufinancována
Evropským sociálním fondem
a státním rozpočtem České republiky

Genové modelování

- programy pro genové modelování
 - zohledňují také další parametry, např. návaznost ORF
 - Genescan (<http://genes.mit.edu/GENSCAN.html>)
velice dobrý pro predikci exonů v kódujících oblastech
(testováno na genu *PDR9*, identifikoval všech 23 (!) exonů)
 - GeneMark.hmm (<http://opal.biology.gatech.edu/GeneMark/>)



INVESTICE DO ROZVOJE VZDĚLÁVÁNÍ

Tato prezentace je spolufinancována
Evropským sociálním fondem
a státním rozpočtem České republiky

Identifikace genů *ab initio*

Result of last submission:

[View PDF Graphical Output](#)

GeneMark.hmm Listing

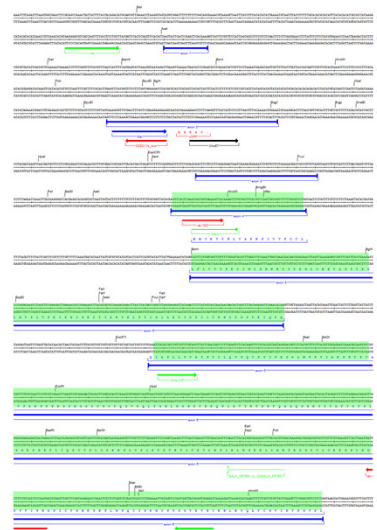
Go to: [GeneMark.hmm Protein Translations](#)

Go to: [Job Submission](#)

Eukaryotic GeneMark.hmm version by 3.9 April 25, 2008
 Sequence name: CK11
 Sequence length: 5040 bp
 GC content: 38.794
 Matrices file: /home/genemark/euk_gmm/matrices/abhalima_hmm3.0mod
 Thu Oct 1 11:09:24 2009

Predicted genes/exons

Gene #	Exon #	Strand	Exon Type	Exon Range	Exon Length	Start/End Frame
1	1	+	Initial	969 1025 57 1 3 - -		
1	2	+	Internal	1155 1294 240		1 3 - -
1	3	+	Internal	1516 2175 660		1 3 - -
1	4	+	Internal	2266 2644 379		1 1 - -
1	5	+	Internal	2794 3317 524		2 3 - -
1	6	+	Internal	3397 4629 1233		1 3 - -
1	7	+	Terminal	4709 4921 213		1 3 - -



VZDĚLÁVÁNÍ

Tato prezentace je spolufinancována
 Evropským sociálním fondem
 a státním rozpočtem České republiky

Identifikace genů *ab initio*

Result of last submission:

[View PDF Graphical Output](#)

[GeneMark.hmm Listing](#)

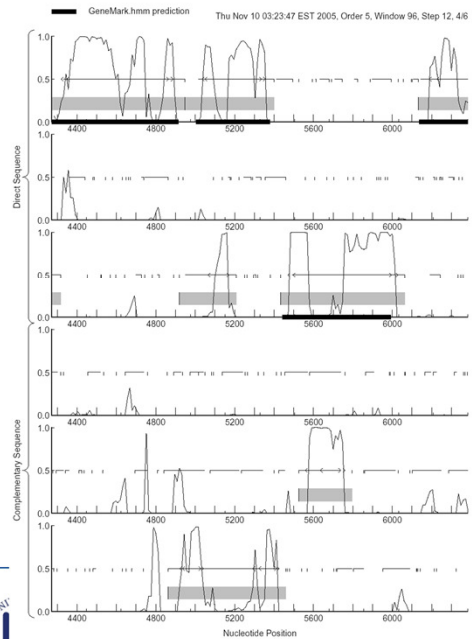
[Go to: GeneMark.hmm Protein Translations](#)

[Go to: Job Submission](#)

Eukaryotic GeneMark.hmm version by 3.9 April 25, 2008
 Sequence name: CK11
 Sequence length: 5040 bp
 GC content: 38.794
 Matrices file: /home/genemark/euk_gmm.matrices/athaliana_hmm3.0mod
 Thu Oct 1 11:09:24 2009

Predicted genes/exons

Gene #	Exon #	Strand	Exon Type	Exon Range	Exon Length	Start/End Frame
1	1	+	Initial	969 1025	57	1 3 --
1	2	+	Internal	1155 1394	240	1 3 --
1	3	+	Internal	1516 2175	660	1 3 --
1	4	+	Internal	2266 2644	379	1 1 --
1	5	+	Internal	2794 3317	564	2 3 --
1	6	+	Internal	3297 4629	1233	1 3 --
1	7	+	Terminal	4709 4921	213	1 3 --



ŠKOLNÍ ZÁKON
 Č. 56/2001 Sb.

ŠKOLNÍ ZÁKON
 Č. 56/2001 Sb.

Evropským sociálním fondem
 a státním rozpočtem České republiky

Genové homologie

- vyhledávání genů podle homologií
 - porovnávání s EST databázemi
 - BLASTN (<http://www.ncbi.nlm.nih.gov/BLAST/>, <http://workbench.sdsc.edu/>)
 - porovnávání s proteinovými databázemi
 - BLASTX (<http://www.ncbi.nlm.nih.gov/BLAST/>, <http://workbench.sdsc.edu/>)
 - Genewise (<http://www.ebi.ac.uk/Wise2/>)

porovnávají proteinovou sekvenci s genomovou DNA (po zpětném překladu), je nutná znalost aminokyselinové sekvence
 - porovnávání s homologními genomovými sekvencemi z příbuzných druhů
 - VISTA/AVID (<http://www.lbl.gov/Tech-Transfer/techs/lbn1690.html>)



INVESTICE DO ROZVOJE VZDĚLÁVÁNÍ

Tato prezentace je spolufinancována
Evropským sociálním fondem
a státním rozpočtem České republiky

Osnova

- Postupy „přímé“ a reverzní genetiky
 - rozdíly v myšlenkových přístupech k identifikaci genů a jejich funkcí
- Identifikace genů *ab initio*
 - struktura genů a jejich vyhledávání
 - genomová kolinearita a genová homologie



INVESTICE DO ROZVOJE VZDĚLÁVÁNÍ

Tato prezentace je spolufinancována
Evropským sociálním fondem
a státním rozpočtem České republiky

Genomová kolinearita

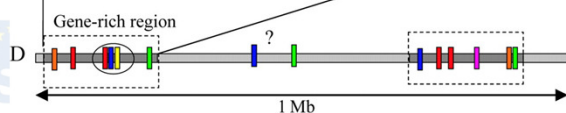
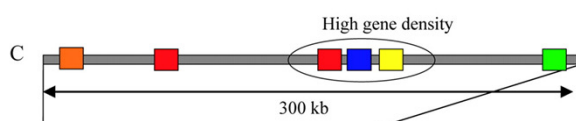
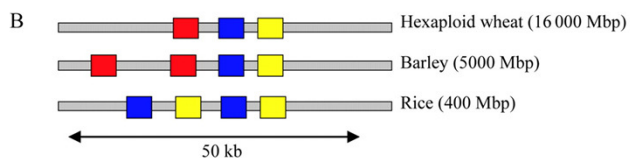
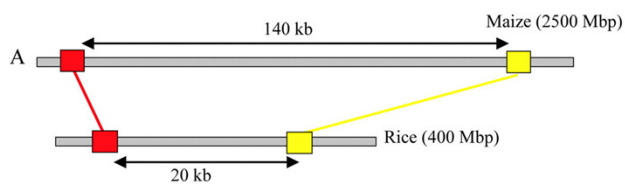
- genomy příbuzných druhů se přes značné odlišnosti vyznačují podobnostmi v uspořádání i sekvencích, možnost využití při identifikaci genů u příbuzných organismů pomocí vyhledávání v databázích
- obecné schéma postupu při využívání genomové kolinearity (také „komparativní genomika“) při experimentální identifikaci genů příbuzných organismů:
 - mapování malých genomů s využitím nízkokopiových DNA markerů (např. RFLP)
 - využití těchto markerů k identifikaci orthologních genů (genů se stejnou nebo podobnou funkcí) příbuzného organismu
 - malý genom (např. rýže, 466 Mbp) může sloužit jako vodítko, kdy jsou identifikovány molekulární nízkokopiové markery (např. RFLP) ve vazbě s genem zájmu a tyto oblasti jsou pak použity jako sonda při vyhledávání v BAC knihovnách při identifikaci orthologních oblastí velkých genomů (např. ječmene nebo pšenice, 5000, resp. 16000 Mbp)



INVESTICE DO ROZVOJE VZDĚLÁVÁNÍ

Tato prezentace je spolufinancována
Evropským sociálním fondem
a státním rozpočtem České republiky

Genomová kolinearita



Feuillet and Keller, 2002

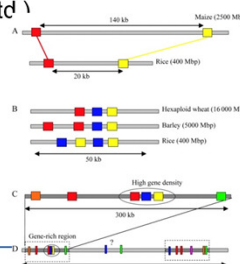
ŠTÍCE DO ROZVOJE VZDĚLÁVÁNÍ

Tato prezentace je spolufinancována
Evropským sociálním fondem
a státním rozpočtem České republiky



Genomová kolinearita

- zejména využitelné u trav (např. využití příbuznosti u ječmene, pšenice, rýže a kukuřice)
- malé genomové přestavby (dalece, duplikace, inverze a translokace menší než několik cM) jsou pak detekovány podrobnou sekvenční komparativní analýzou
- během evoluce dochází u příbuzných druhů k odchylkám především v nekódujících oblastech (invaze retrotranspozonů atd.)

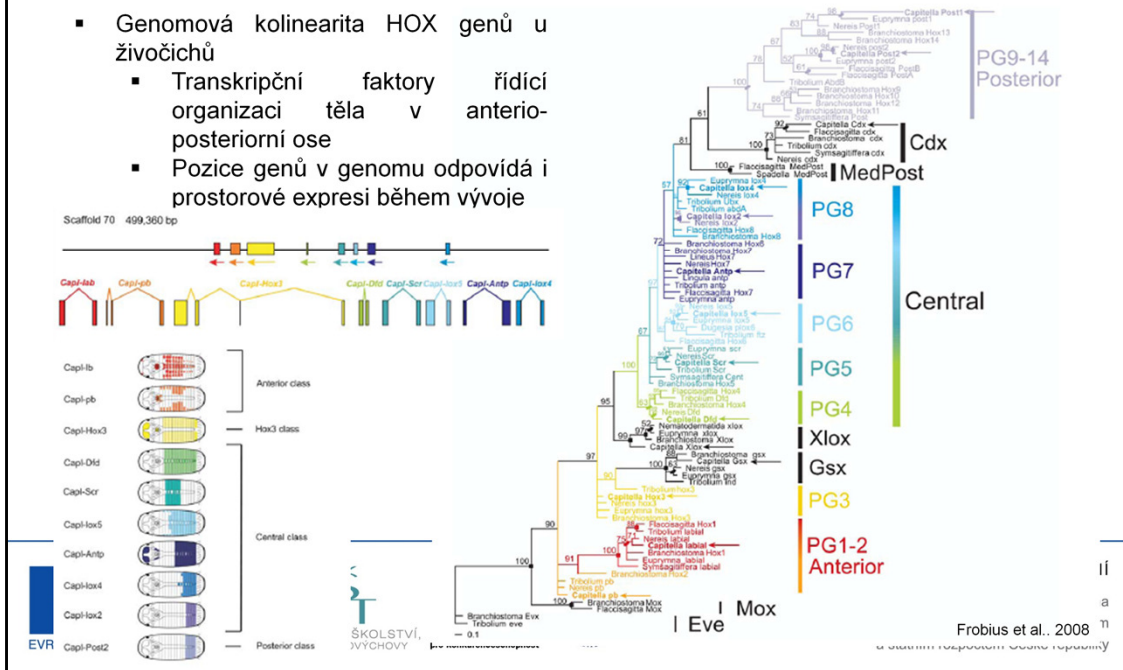


INVESTICE DO ROZVOJE VZDELAVÁNÍ

Tato prezentace je spolufinancována
Evropským sociálním fondem
a státním rozpočtem České republiky

Genomová kolinearita

- Genomová kolinearita HOX genů u živočichů
 - Transkripční faktory řídící organizaci těla v antero-posteriorní ose
 - Pozice genů v genomu odpovídá i prostorové expresi během vývoje



Osnova

- Postupy „přímé“ a reverzní genetiky
 - rozdíly v myšlenkových přístupech k identifikaci genů a jejich funkcí
- Identifikace genů *ab initio*
 - struktura genů a jejich vyhledávání
 - genomová kolinearita a genová homologie
- Experimentální identifikace genů
 - příprava genově obohacených knihoven pomocí technologie metylačního filtrování



INVESTICE DO ROZVOJE VZDĚLÁVÁNÍ

Tato prezentace je spolufinancována
Evropským sociálním fondem
a státním rozpočtem České republiky

Metylační filtrování

- příprava genově obohacených knihoven pomocí technologie metylačního filtrování
- geny jsou (většinou!) hypometylované, kdežto nekódující oblasti jsou metylované
- využití bakteriálního RM systému, který rozpoznává metylovanou DNA pomocí rest. enzymů McrA a McrBC
 - McrBC rozpoznává v DNA metylovaný cytozin, který předchází purin (G nebo A)
 - pro štěpení je nutná vzdálenost těchto míst z 40-2000 bp



INVESTICE DO ROZVOJE VZDĚLÁVÁNÍ

Tato prezentace je spolufinancována
Evropským sociálním fondem
a státním rozpočtem České republiky

Metylační filtrování

- příprava genově obohacených knihoven pomocí technologie metylačního filtrování
- schéma postupu při přípravě BAC genomových knihoven pomocí metylačního filtrování:
 - příprava genomové DNA bez příměsí organelární DNA (chloroplasty a mitochondrie)
 - fragmentace DNA (1-4 kbp) a ligace adaptorů
 - příprava BAC knihovny v *mcrBC+* kmeni *E. coli*
 - selekce pozitivních klonů
- omezené využití: obohacení o kódující DNA o pouze cca 5-10 %



INVESTICE DO ROZVOJE VZDĚLÁVÁNÍ

Tato prezentace je spolufinancována
Evropským sociálním fondem
a státním rozpočtem České republiky

Osnova

- Postupy „přímé“ a reverzní genetiky
 - rozdíly v myšlenkových přístupech k identifikaci genů a jejich funkcí
- Identifikace genů *ab initio*
 - struktura genů a jejich vyhledávání
 - genomová kolinearita a genová homologie
- Experimentální identifikace genů
 - příprava genově obohacených knihoven pomocí technologie metylačního filtrování
 - EST knihovny

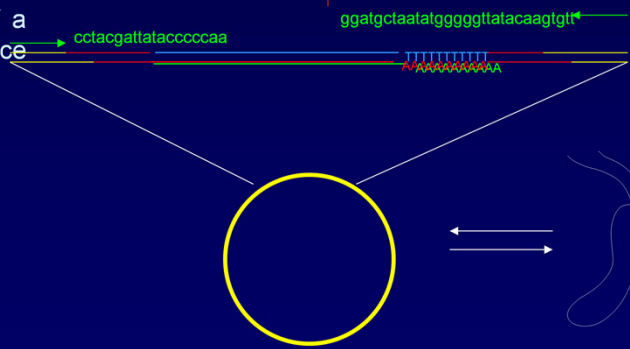


INVESTICE DO ROZVOJE VZDĚLÁVÁNÍ

Tato prezentace je spolufinancována
Evropským sociálním fondem
a státním rozpočtem České republiky

EST knihovny

- příprava EST knihoven
 - izolace mRNA
 - RT PCR
 - ligace linkerů a syntéza druhého řetězce cDNA
 - klonování do vhodného bakteriálního vektoru
 - transformace do bakterií a izolace DNA (amplifikace DNA)
 - sekvenace s použitím primerů specifických pro použitý plasmid
 - uložení výsledků sekvenace do veřejné databáze



Osnova

- Postupy „přímé“ a reverzní genetiky
 - rozdíly v myšlenkových přístupech k identifikaci genů a jejich funkcí
- Identifikace genů *ab initio*
 - struktura genů a jejich vyhledávání
 - genomová kolinearita a genová homologie
- Experimentální identifikace genů
 - příprava genově obohacených knihoven pomocí technologie metylačního filtrování
 - EST knihovny
 - přímá a reverzní genetika



INVESTICE DO ROZVOJE VZDĚLÁVÁNÍ

Tato prezentace je spolufinancována
Evropským sociálním fondem
a státním rozpočtem České republiky

Přímá a reverzní genetika

- Principy experimentální identifikace genů prostřednictvím přímé a reverzní genetiky
 - Změna fenotypu po mutagenezi
 - **Genetika přímá**
 - Identifikace inzerčního mutanta a analýza jeho fenotypu
 - **Genetika reverzní**
 - Analýza exprese daného genu a jeho časoprostorové specifiity



INVESTICE DO ROZVOJE VZDĚLÁVÁNÍ

Tato prezentace je spolufinancována
Evropským sociálním fondem
a státním rozpočtem České republiky

Přímá a reverzní genetika - shrnutí

- Principy experimentální identifikace genů prostřednictvím přímé a reverzní genetiky
 - Změna fenotypu po mutagenezi
 - **Genetika přímá**



INVESTICE DO ROZVOJE VZDĚLÁVÁNÍ

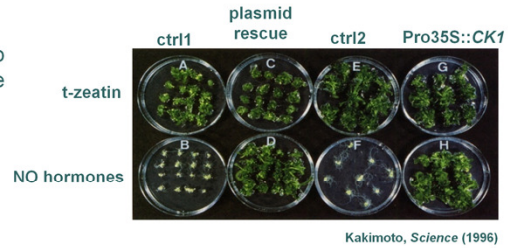
Tato prezentace je spolufinancována
Evropským sociálním fondem
a státním rozpočtem České republiky



Cloning of CKI1

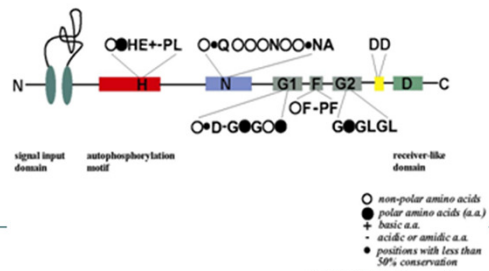
□ CKI1 was identified via activation mutagenesis in *Arabidopsis*

- Overexpression of *CKI1* leads to CK-like response in the hypocotyl explants



Kakimoto, *Science* (1996)

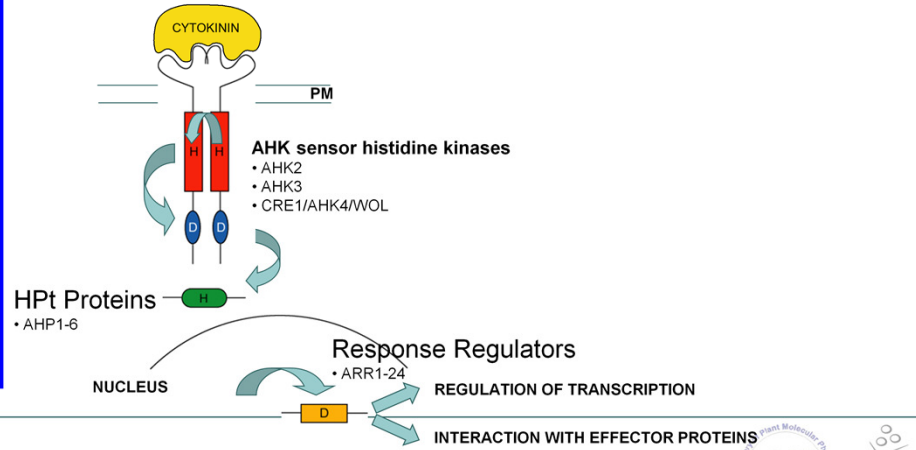
- CKI1* encodes a protein with similarity to bacterial histidine kinases





Signal Transduction via MSP

Recent Model of the CK Signaling via Multistep Phosphorelay (MSP) Pathway



Hormonal regulations of plant development



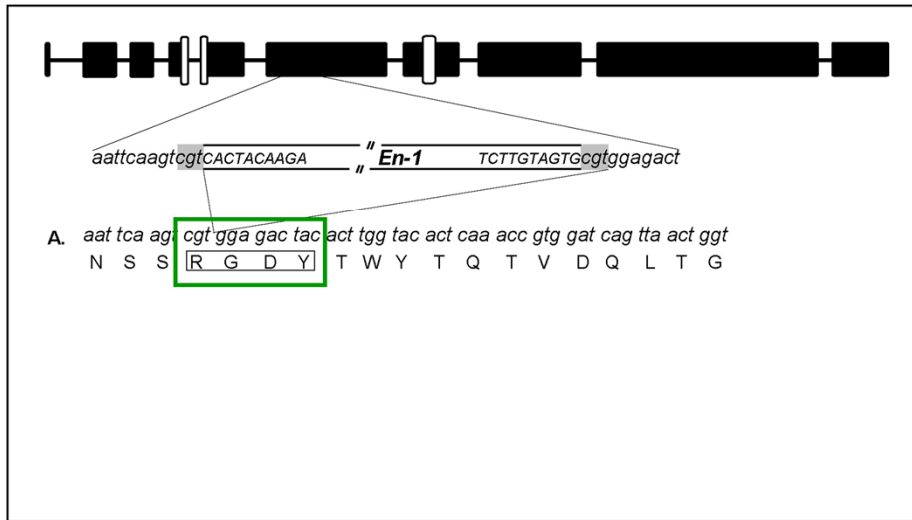


Přímá a reverzní genetika

- Principy experimentální identifikace genů prostřednictvím přímé a reverzní genetiky
 - Změna fenotypu po mutagenezi
 - **Genetika přímá**
 - Identifikace inzerčního mutanta a analýza jeho fenotypu
 - **Genetika reverzní**



Identification of insertional *cki1* mutant allele



Hormonal regulations of plant development





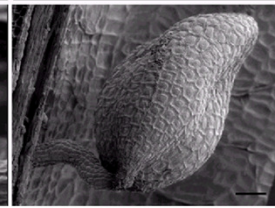
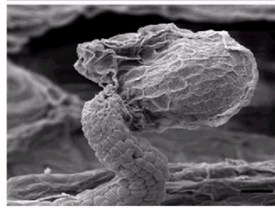
CKI1 Regulates Female Gametophyte Development

- CKI1 is necessary for proper megagametogenesis in *Arabidopsis*

CKI1/cki1-i



CKI1/CKI1



Hejätö et al., *Mol Genet Genomics* (2003)

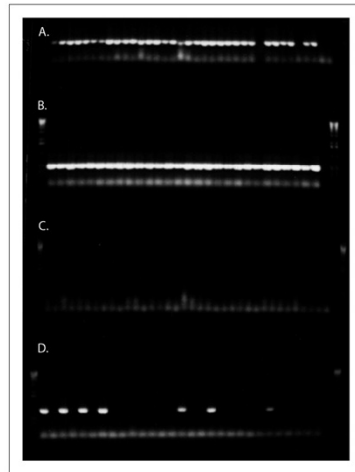
Hormonal regulations of plant development





CKI1 and megagametogenesis

- *cki1-i* is not transmitted through the female gametophyte



A. ♂ wt x ♀ *CKI1/cki1-i*



CKI1 specific primers (PCR positive control)

B. ♂ *CKI1/cki1-i* x ♀ wt

C. ♂ wt x ♀ *CKI1/cki1-i*



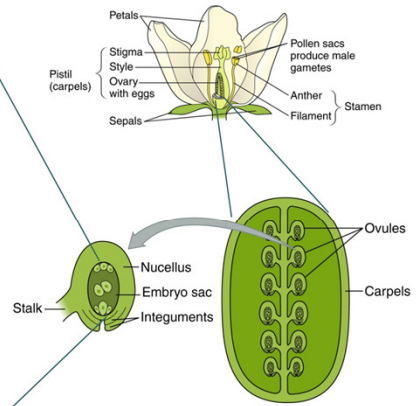
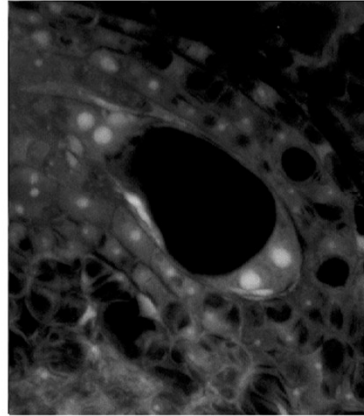
cki1-i specific primers

D. ♂ *CKI1/cki1-i* x ♀ wt



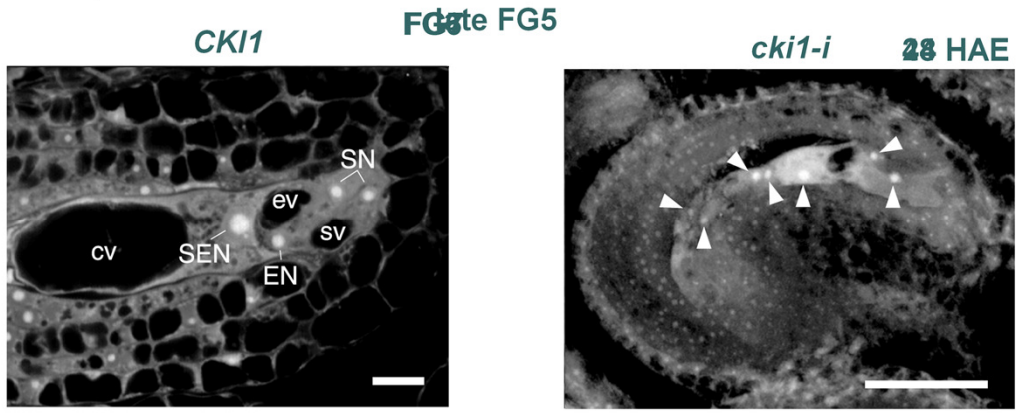
CKI1 and megagametogenesis

FG 4





CKI1 and megagametogenesis



Hejátko et al., *Mol Genet Genomics* (2003)



Hormonal regulations of plant development



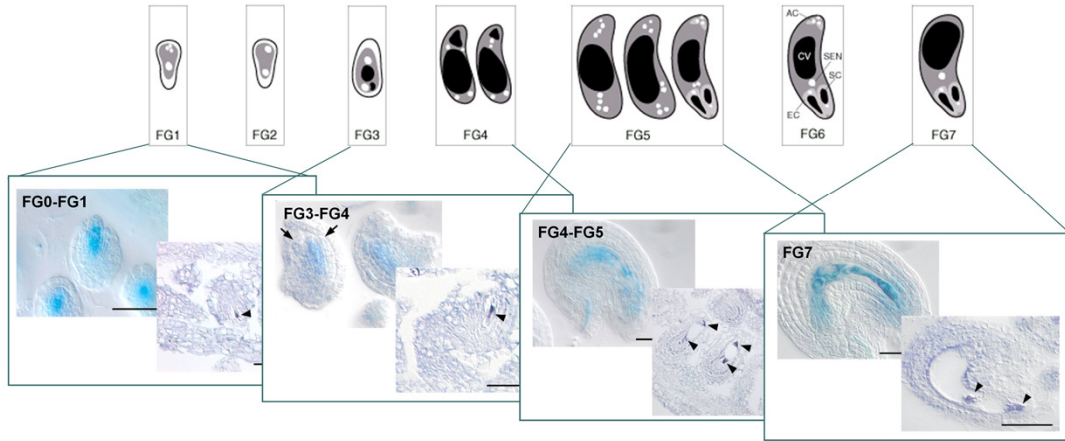


Přímá a reverzní genetika

- Principy experimentální identifikace genů prostřednictvím přímé a reverzní genetiky
 - Změna fenotypu po mutagenezi
 - **Genetika přímá**
 - Identifikace inzerčního mutanta a analýza jeho fenotypu
 - **Genetika reverzní**
 - Analýza exprese daného genu a jeho časoprostorové specifiity



CKI1 is Expressed Throughout Megagametogenesis



Hejätko et al., *Mol Genet Genomics* (2003)

Hormonal regulations of plant development

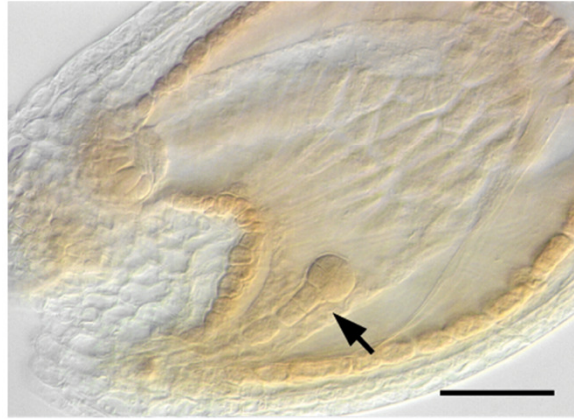




Paternal *CKI1* is Expressed in the *Arabidopsis* Sporophyte Early after Fertilization

♀ wt x ♂ Pro*CKI1*:*GUS*

48 HAP
(hours
after
pollination)



Hejátko et al., *Mol Genet Genomics* (2003)

Hormonal regulations of plant development





Přímá a reverzní genetika - shrnutí

- Principy experimentální identifikace genů prostřednictvím přímé a reverzní genetiky
 - Změna fenotypu po mutagenezi
 - **Genetika přímá**
 - Identifikace inzerčního mutanta a analýza jeho fenotypu
 - **Genetika reverzní**
 - Analýza exprese daného genu a jeho časoprostorové specifiity

Shrnutí

- Postupy „přímé“ a reverzní genetiky
 - rozdíly v myšlenkových přístupech k identifikaci genů a jejich funkcí
- Identifikace genů *ab initio*
 - struktura genů a jejich vyhledávání
 - genomová kolinearita a genová homologie
- Experimentální identifikace genů
 - příprava genově obohacených knihoven pomocí technologie metylačního filtrování
 - EST knihovny
 - přímá a reverzní genetika



INVESTICE DO ROZVOJE VZDĚLÁVÁNÍ

Tato prezentace je spolufinancována
Evropským sociálním fondem
a státním rozpočtem České republiky

Diskuse



INVESTICE DO ROZVOJE VZDĚLÁVÁNÍ

Tato prezentace je spolufinancována
Evropským sociálním fondem
a státním rozpočtem České republiky